© VitisDb 2010-2016 - ISSN 2282-006x

Merlot (Garf-PC)

D'Onofrio C., Fausto C., Ducci E., Matarese F., Fiorani F., Poli I., 2015. Merlot n (Garf-PC), var Merlot. In: Italian Vitis Database, www.vitisdb.it, ISSN 2282-006X

release 07/06/2015, **ultimo aggiorn.** 08/07/2015 **url** http://vitisdb.it/accessions/show/3300

Informazioni gestite da

Dipartimento di Scienze Agrarie, Alimentari e Agro-ambientali (DiSAAA-a) - Università di Pisa

Ringraziamenti

Unione Comuni di Garfagnana; Fondazione AGER (AGER Fundation)

Informazioni generali

nome Merlot (Garf-PC)
codice ITA419-1081
nazione di selezione Italia
regione di selezione Toscana
provincia di selezione Lucca
località di selezione Garfagnana
istituzione custode Dipartimento di Scienze Agrarie, Alimentari e Agro-ambientali (DiSAAA-a) - Università di Pisa
collezione Garfagnana - Vivaio La Piana, Camporgiano (Lucca)

Varietà & clone

tipo di origine spontanea
genere Vitis
specie Vitis vinifera
sub specie sativa
varietà Merlot
codice della varietà IVD-var_136
clone non disponibile
trueness to type accertato con rilievi morfologici e microsatelliti

Trueness to type

True-name

confermato **si**

bibliografia correlata (1)

autori	anno	titolo	rivista	citazione
Cosmo I., Polsinelli M.,	1960	Merlot.		Principali vitigni da vino coltivati in Italia. Volume IV, Ministero dell'Agricoltura e delle Foreste

Trueness to type accertato con rilievi morfologici (ampelografici)

accertamento con rilievi morfologici (ampelografici) **accertato**

bibliografia correlata (1)

autori	anno	titolo	rivista	citazione
Cosmo I., Polsinelli M.,	1960	Merlot.		Principali vitigni da vino coltivati in Italia. Volume IV, Ministero dell'Agricoltura e delle Foreste

Trueness to type accertato con microsatelliti

accertamento con microsatelliti **accertato**

bibliografia correlata (1)

autori	anno	titolo	rivista	citazione
D'Onofrio C., Fausto C., Matarese F., Materazzi A., Scalabrelli G., Fiorani F., Poli I.,	2015	Genotyping of Grapevine Varieties from Garfagnana (Northern Tuscany): Evidence of a Historical Centre of Diversity	American Journal of Enology and Viticulture	Am. J. Enol. Vitic. 67: 120-126

loci confrontati **14**

loci identici **14**

discrepanze n.d.

Profilo microsatellite standardizzato

loci:	loci predefiniti (9)																	
locus SSR:	VVS2		VVMD5		VVMD7		VVMD27		VrZAG62		VrZAG79		VVMD25		VVMD28		VVMD32	
allele:	A1	A2	A1	A2	A1	A2	A1	A2	A1	A2	A1	A2	A1	A2	A1	A2	A1	A2
dimensione:	139	151	225	235	239	247	189	191	194	194	249	259	240	250	231	237	241	241

Vi sono altri loci consultabili online

Immagini

germoglio

germoglio pagina superiore

germoglio pagina inferiore

foglia

foglia pagina superiore

foglia pagina inferiore

seno peziolare

grappolo

Ampelografia

OIV	descrizione	valore		immagini
001	Giovane germoglio: apertura dell'apice	5	completamente aperto	
003	Giovane germoglio: intensità della pigmentazione antocianica dei peli striscianti dell'apice	3 / 5	bassa / media	
004	Giovane germoglio: densità dei peli striscianti dell'apice	7	elevata	
006	Germoglio: portamento (prima della legatura)	1 / 3	eretto / semi-eretto	
007	Germoglio: colore del lato dorsale degli internodi	1	verde	
008	Germoglio: colore del lato ventrale degli internodi	1	verde	
016	Germoglio: numero di viticci consecutivi	1	2 o meno	
051	Foglia giovane: colore della pagina superiore del lembo (4 a foglia)	1 / 3	verde / bronzato	
053	Foglia giovane: densità peli striscianti tra le nervature principali della pagina inferiore (4a foglia)	5 / 7	media / elevata	
067	Foglia adulta: forma del lembo	3	pentagonale	
068	Foglia adulta: numero dei lobi	3	cinque	
070	Foglia adulta: distribuzione pigmentazione antocianica nervature principali pagina superiore	1	assente	
072	Foglia adulta: depressioni del lembo	5	medie	
074	Foglia adulta: profilo del lembo in sezione trasversale	1	piano	
075	Foglia adulta: bollositá della pagina superiore del lembo	7	elevata	
076	Foglia adulta: forma dei denti	3	entrambi i lati convessi	
079	Foglia adulta: grado di apertura / sovrapposizione dei bordi del seno peziolare	3	aperto	
080	Foglia adulta: forma della base del seno peziolare	1	a U	
081-1	Foglia adulta: denti del seno peziolare	1	assenti	
081-2	Foglia adulta: base del seno peziolare delimitata dalla nervatura	1	non delimitata	
083-2	Foglia adulta: denti nei seni laterali superori	1	assenti	
084	Foglia adulta: densità dei peli striscianti tra le nervature principali sulla pagina inferiore del lembo	1 / 3	nulla o molto bassa / bassa	
087	Foglia adulta: densità dei peli eretti sulle nervature principali della pagina inferiore del lembo	1	nulla o molto bassa	
094	Foglia adulta: profondità dei seni laterali superiori	5	medio	
151	Fiore: organi sessuali	3	stami completamente sviluppati e gineceo completamente sviluppato	
152	Infiorescenza: livello d'inserzione della 1 a infiorescenza	2	3° e 4° nodo	
155	Tralcio: fertilità delle gemme basali (gemme 1-3)	5 / 7	media (1,1-1,3) / elevata (1,5-1,7)	
202	Grappolo: lunghezza (escluso il peduncolo)	5 / 7	medio / lungo	
204	Grappolo: compattezza	5 / 7	medio / compatto	
206	Grappolo: lunghezza del peduncolo del grappolo principale	3	corto	
208	Grappolo: forma	2	conico	
209	Grappolo: numero di ali del grappolo principale	1 / 2	assenti / 1 - 2 ali	
220	Acino: lunghezza	3	corto	
221	Acino: larghezza	3	stretto	
223	Acino: forma	3	ellissoidale largo	
225	Acino: colore della buccia	6	blu nero	
231	Acino: intensità della pigmentazione antocianica della polpa	5	media	
235	Acino: consistenza della polpa	1	molle	
236	Acino: particolarità dell'aroma	1	nessuna	

241	Acino: sviluppo dei vinaccioli	3	completo

Ampelometria

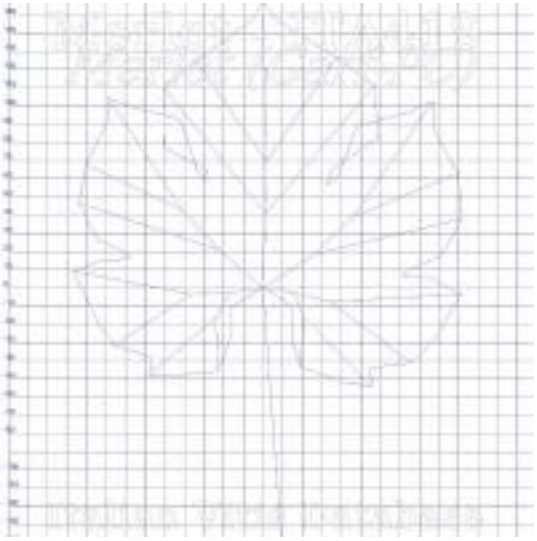

foglia ampelometrica

OIV

OIV	PDF	descrizione	valore	
601	PDF	Foglia adulta: lunghezza della nervatura N1	7	lunga (165 mm)
602	PDF	Foglia adulta: lunghezza della nervatura N2	7	lunga (125 mm)
603	PDF	Foglia adulta: lunghezza della nervatura N3	7	lunga (95 mm)
604	PDF	Foglia adulta: lunghezza della nervatura N4	9	molto lunga (55 mm e oltre)
605	PDF	Foglia adulta: distanza dal seno peziolare al seno laterale superiore	5	media (70 mm)
606	PDF	Foglia adulta: distanza dal seno peziolare al seno laterale inferiore	7	lunga (75 mm)
607	PDF	Foglia adulta: angolo tra N1 e N2 misurato alla prima biforcazione	5	medio (46°-55°)
608	PDF	Foglia adulta: angolo tra N2 e N3 misurato alla prima biforcazione	5	medio (46°-55°)
609	PDF	Foglia adulta: angolo tra N3 e N4 misurato alla prima biforcazione	5	medio (46°-55°)
610	PDF	Foglia adulta: angolo tra N3 e la tangente tra il punto peziolare e l'estremità N5	7	grande (56°-70°)
612	PDF	Foglia adulta: lunghezza del dente di N2	5	medio (14 mm)
613	PDF	Foglia adulta: larghezza del dente di N2	5	medio (14 mm)
614	PDF	Foglia adulta: lunghezza del dente di N4	3	corto (10 mm)
615	PDF	Foglia adulta: larghezza del dente di N4	5	medio (14 mm)
617	PDF	Foglia adulta: distanza tra l'estremitá di N2 e l'estremitá della prima nervatura secondaria di N2	5	media (46-55 mm)

distanze		
descrittore	valore	deviazione standard
Distanza dal seno peziolare al seno inferiore destro	72.000	10.900
Distanza dal seno peziolare al seno inferiore sinistro	70.100	11.200
Distanza dal seno peziolare al seno superiore destro	65.700	6.400
Distanza dal seno peziolare al seno superiore sinistro	65.600	9.400
Nervatura N3, lunghezza dal seno peziolare alla nervatura N4	15.800	2.400
Nervatura N3’, lunghezza dal seno peziolare alla nervatura N4’	16.900	1.500
Lunghezza della nervatura N5	27.300	5.600
Lunghezza della nervatura N5’	29.600	5.900
Lunghezza della nervatura N4	65.700	3.500
Lunghezza della nervatura N4’	61.800	6.400
Distanza tra punto peziolare ed estremità della nervatura N4	78.000	2.500
Distanza tra punto peziolare ed estremità della nervatura N4'	75.600	6.000
Larghezza della foglia	198.900	10.800
Lunghezza della foglia	214.200	10.500
Lunghezza del picciolo	139.600	10.100
Lunghezza della foglia compreso il picciolo	296.300	13.000
Distanza tra gli estremi delle nervature N2 e N2’	166.700	22.200
Lunghezza della nervatura N1	156.700	9.200
Distanza tra gli estremi delle nervature N4 e N4’	114.500	6.700
Distanza tra gli estremi delle nervature N3 e N3’	199.100	12.200
Lunghezza della nervatura N2	134.500	9.000
Larghezza del seno peziolare / Distanza tra i punti SP e SP’	-31.500	5.600
Lunghezza della nervatura N3	101.800	6.000
Lunghezza della nervatura N2’	132.800	7.100
Distanza tra estremità di N2 e estremità della prima ramificazione laterale di N2	55.400	14.200
Lunghezza della nervatura N3'	97.700	7.400
Distanza tra estremità di N2' e estremità della prima ramificazione laterale di N2'	50.200	24.100

angoli		
descrittore	valore	deviazione standard
Angolo tra N1 e N2 misurato alla prima biforcazione	52.500	1.700
Angolo tra N2 e N3 misurato alla prima biforcazione	45.200	5.200
Angolo tra N1 e N2’ misurato alla prima biforcazione	48.400	5.800
Angolo tra N3 e N4 alla prima biforcazione di N3	48.900	14.000
Angolo tra N2’ e N3’ misurato alla prima biforcazione	51.900	5.500
Angolo tra N1 e N2 misurato agli estremi delle nervature	40.200	4.200
Angolo tra N3’ e N4’	59.900	5.200
Angolo tra N2 e N3 misurato agli estremi delle nervature	51.500	4.700
Angolo tra N1 e N2’ misurato agli estremi delle nervature	37.000	10.300
Angolo tra N3 e N4 misurato agli estremi delle nervature	42.400	4.700
Angolo tra N2’ e N3’ misurato agli estremi delle nervature	47.700	5.300
Angolo di apertura del seno peziolare misurato a SP e SP’	62.400	19.100
Angolo tra N3’ e N4’ misurato agli estremi delle nervature	44.800	5.100
Angolo tra S e S’ con centro in N1	35.000	4.400
Angolo tra D e D’ con centro in N1	98.700	5.200
Angolo tra N3 e la tangente tra il punto peziolare e l'estremità N5	64.900	6.000
Angolo tra I e I’ con centro in N1	51.300	6.700
Angolo tra N3' e la tangente tra il punto peziolare e l'estremità N5'	68.400	8.200

rapporti		
descrittore	valore	deviazione standard
Media della base dei denti del lato sinistro	8.715	0.982
Media della base dei denti del lato destro	8.555	0.660
Media dell'altezza dei denti del lato sinistro	7.385	0.367
Rapporto tra l'altezza e la base del dente all'estremità della nervatura N4'	0.516	0.098
Media dell'altezza dei denti del lato destro	5.857	0.367
Rapporto tra l'altezza e la base del dente all'estremità della nervatura N2'	0.835	0.225
Rapporto tra l'altezza e la base del dente all'estremità della nervatura N4	0.594	0.073
Rapporto tra l'altezza e la base dei denti del lato sinistro	0.854	0.073
Rapporto tra l'altezza e la base del dente all'estremità della nervatura N2	0.832	0.257
Rapporto tra la somma degli angoli a' + b' e la somma della distanza tra il seno peziolare e il seno superiore sinistro OS' e il seno peziolare e il seno inferiore sinistro OI'	0.013	0.001
Rapporto tra l'altezza e la base dei denti del lato destro	0.682	0.087
Rapporto tra la lunghezza della nervatura N5' e la lunghezza della nervatura N1	0.190	0.041
Rapporto tra la somma degli angoli a + b e la somma della distanza tra il seno peziolare e il seno superiore destro OS e il seno peziolare e il seno inferiore destro OI	0.012	0.001
Rapporto tra la lunghezza della nervatura N4' e la lunghezza della nervatura N1	0.395	0.040
Rapporto tra la lunghezza della nervatura N5 e la lunghezza della nervatura N1	0.175	0.041
Rapporto tra la lunghezza della nervatura N3' e la lunghezza della nervatura N1	0.623	0.041
Rapporto tra la lunghezza della nervatura N4 e la lunghezza della nervatura N1	0.420	0.019
Rapporto tra la lunghezza della nervatura N2' e la lunghezza della nervatura N1	0.849	0.037
Rapporto tra la lunghezza della nervatura N3 e la lunghezza della nervatura N1	0.651	0.035
Rapporto tra la distanza dal seno peziolare al seno inferiore sinistro OI' e la lunghezza della nervatura N3'	0.718	0.099
Rapporto tra la lunghezza della nervatura N2 e la lunghezza della nervatura N1	0.859	0.028
Rapporto tra la distanza dal seno peziolare la lunghezza della nervatura N2'	0.495	0.076
Rapporto tra la distanza dal seno peziolare al seno inferiore destro OI e la lunghezza della nervatura N3	0.708	0.103
Prodotto di Lunghezza e larghezza della foglia	42670.000	3913.000
Rapporto tra la lunghezza del picciolo OP e la lunghezza della nervatura N1	0.894	0.087
Rapporto tra Lunghezza e larghezza della foglia	1.079	0.050
Rapporto tra la distanza dal seno la lunghezza della nervatura N2	0.489	0.040